

達城礦山의 流體包有物에 依한 生成溫度와 鑛物共生에 關한 研究

池 槟 蔓* · 黃 鎬 善*

A Study for Genesis by Homogenization Temperature and Paragenesis of Dalsung Mine.

Jeong Mahn Chi · Ho Sun Hwang

Abstract

Dalsung Mine, located in Kyungsang puk-do, Korea, is well known as one of the typical breccia pipe filling hydrothermal W-Cu deposit.

By homogenization temperature with fluid inclusions in quartz crystals (330 samples were dealt with) by heating stage microscope, two temperature ranges were figured out, one is 154°~267°C (average 210°C), and the other is 283°~335°C (average 309°C).

Regarding to mineral paragenesis, mineralization of the deposit were thought that former, mesothermal stage, W-Cu mineralization processed through out the ore body and later mineralization were limited under -4level as katathermal solution with Cu minerals.

1. 序 論

1. 研究目的

礦床學分野에서 가장 興味를 끄는 하나의 研究分野가 鑛液의 起源과 鑛床의 成因을 究明하려는 研究이다. 이 目的의 수행하기 為해 最近에는 流體包有物이 그 研究對象이 되고 있다. 即 該礦物內에 捕獲된 流體包有物의 溫度를 測定함으로써 鑛床의 生成溫度와 여려 가지 方法에 依한 包有物의 成分分析으로 鑛液을 起源을 찾으려는데 많은 研究가 進行되고 있다. 筆者는 國內礦山에서 流體包有物이 識別될수 있는 礦山을 選定하여 流體包有物의 均一한 溫度를 測定하고 그 礦床의 成因 및 礦物의 共生關係와 關聯시켜 礦床 生成溫度와 礦化作用을 究明코자 함에 그 目的을 두었다.

2. 流體包有物의 現況

流體包有物의 研究는 100 餘年前 Sorby에 依하여 着想되었고 그 이후 數많은 學者들에 의하여 人工結晶에 있어서 結晶成長과 均一化法의 理論的근거 等에 對하

여 究明되었으며 現在는 脈狀礦床에서 均一化法에 의한 溫度曲線을 그리면 礦化溶液의 移動經路를 推定할 수 있고 이것은 잠두광체의 探礦에 까지도 適用이 可能하리라 생각된다. 最近에는 溫度뿐만 아니라 流體包有物의 內容物을 分析하여 內容物中 δO^{18} 과 δO^{16} 의 同位元素를 定量하여 順환수, 마그마수 中의 δO^{18} 과 δO^{16} 의 比를 比較함으로 流體包有物의 內容物의 根源을 究明하는데까지 研究하고 있다. 이의 活潑한 研究로 以上의 結果의 活用이 크게 기대되리라 思料된다.

3. 達城礦山의 選定理由

기조사된 바에 依하면 角礫充填熱水礦床으로 알려졌으며 이로 因하여 熱水에 수반하여 온 脈石礦物인 石英이 角礫空洞에서 自形내지 半自形結晶으로 多量晶出되고 있음은 오래전부터 알려진 事實이다. 또 日本 東京教育大學의 宮澤教授에 依해 本 礦山產 石英結晶에 對한 流體包有物의 溫度測定이 一部 行해진 바 있고, 日本에서는 이와 비슷한 石英 脈狀礦床에 對하여 水晶內 流體包有物의 均一化溫度를 利用한 礦床 生成溫度의 研究가 活潑하다. 이상의 결과로 多量產出되는 水晶內 流體包有物이 存在함을 認定되었기 때문이다.

2. 達城礦山의 概要

1. 概 要

本 矿山은 重石과 銅 生産으로 國內에서 重要한 位置를 차지하고 있다. 開發初期에는 黑重石礦山으로 始作되었으나 그以後 銅을 비롯하여 蒼鉛, 灰重石 等을 生產한 實績이 있다. 그러나 現在는 矿況의 變化로 黑重石과 銅만 주로 生產하고 있다. 이 矿山은 形態의 으로 國내에서 보기드문 典型的인 角礫岩이 呈狀의 矿體로 그 水平斷面은 卵形을 이루고 多種의 수반광물이 產出되고 있다.

位 置

慶北 達成郡 嘉昌面 上院洞(北緯 : 35°47'3" 東經 128°38'08")

礦業權者 : 大韓重石礦業株式會社

3. 達城礦山產 石英內 流體包有物의 溫度測定

1. 試料採取

礦料採取는 3次에 걸쳐 行해졌으며 1次試料採取는 1973. 5. 12~17에 行하였고 우선 數個의 石英結晶을 取하여 流體包有物의 有無를 確認하기 為한豫備的 試料採取였다. 이에서 本 矿山產 石英의 自形 또는 半自形 결정내에 流體包有物이 存在함을 알았고 同時に 肉眼으로 보아 너무 투명하고 균열이 많은 水晶은 流體包有物이 거의 없었고 半透明乃至 영통(玲瓏)하며 부분적으로 부옇게 오염된 狀態의 水晶結晶의 試片에 유체포유물이 상당히 存在함을 알았다. 만약 균열이 있다면 一次 또는 假二次包有物이 人工의 要因 주로 發破中 그 여파로 因하여 二次包有物로 化하기 때문에 균열이 없는 것을 澤함이 좋다는 것도 알았다. 二次試料採取는 同年 6. 24~7. 1에 行해졌고 一次試料採取後 確認된 水晶結晶의 採取條件을 잘 適用하여 坑內 79개 地點에서 採取하였다. 三次試料採取는 7. 28~8. 42에 行하였고 이때는 矿物의 共生關係를 流體包有物의 均一化溫度와 關聯시켜 矿物의 生成溫度와 矿化作用의 關係를 알기 為하여 2次試料採取地點과 同一地點에서 矿石礦物을 採取하였다. 이러한 시료는 全坑道를 直接 踏查하면서 正確하게 坑內圖에 기재하고 均一한 간격으로 시료를 채취해야함이 타당하나 本 試料採取에서는 矿床賦存狀況과 採掘跡의 形態 等으로 因하여 일정한 간격으로 시료를 채취함이 不可能하였으며 室內作業에서 正確한 等溫曲線을 作圖하기란 기대하기 어려웠다.

2. 試片製作

3차례에 걸쳐 채취된 試料中에서 均一化溫度實驗이 可能한 試料는 石英을 비롯하여 方解石, 灰重石, 融石, 섬아연礦인 透明礦物이 對象이 되었으나 石英과 方解石을 제외하고 다른 矿物들은 粒子의 크기가 미세하고 自形의 結晶이 發見되지 못하여 試片製作을 할 수 없었고 方解石은 試片製作이 可能했으나 包有物을 發見치 못했다. 단지 本實驗에서는 多量晶出되는 石英自形結晶에 對해서만 行해졌다. 本 矿山產 石英結晶의 크기는 最大值徑($\perp C$ 軸面)이 7~8 cm程度이고 最少크기는 大端히 미세한 것까지의 不規則한 크기의 Vug-Quartz가 있었다. 試料採取中에는 直徑($\perp C$ 面)이 1 cm에서 5 mm의 石英結晶이 大部分이었기에 切斷이 容易한 水晶의 C軸과 直角方向으로 자른 것만을 試片으로 使用하였다. 일반적으로 流體包有物을 研究하는데 쓰이는 試片을 C軸의 直角과 平行인 試片을準備하여 비교研究함이 좋다. 그 理由는 單一結晶內에서도 同一한 結晶成長方向에서 생긴 流體包有物의 均一化溫度는 비슷하나 結晶의 中央部와 외곽部에 位置하는 流體包有物의 均一化溫度는相當한 差가 있음은 W. S. Twenhofel의 實驗에 의해서 알 수 있다. 그에 의하면 石英의 單一結晶내에 하여도 中央部와 외곽부의 均一化溫度差는 最大 32°C로 나타났다. 本 試片製作에서는 시료의 直徑($\perp C$ 軸面)이 너무 작기 때문에 C軸에 平行으로 자르기 곤란하여 그의 시편제작이 곤란하였으나 數個의 큰 결정에서는 C軸의 平行方向으로 시편이 제작되어 本 研究에 準用하였다. 本試料의 單一結晶內의 均一化溫度의 最大差는 17°C로 나타났다. 試片製作은 잘려진 수정조각은 연마선상에서 平滑하게 연마하였으며 最終연마제로는 Cr_2O_3 나 Al_2O_3 을 使用하여 polishing 하였다. 만약 充分히 연마되지 않으면 현미경下에서 촛점을 맞출수 없어 試片內 包有物의 存在識別이 곤란하였다. 특히 石英은 貝殼狀斷口를 갖기 때문에 연마에 心血을 기울였다. 試片의 크기는 加熱顯微鏡의 specimen chamber(標品室)에 들어갈 수 있는 程度로 두께 1.5~0.5 mm 깊이 0.5~1.5 cm²로 하였다. 두께를 너무 얕게 하면 試片內 存在하는 流體包有物의 形狀은 뚜렷하여 顯微鏡觀察로 써는 良好하나 절단기(diamond saw)로 자르는 과정에서 생기게 될 균열과 진동때문에 기존의 포유물이 파괴 소멸될 우려가 있으므로 本實驗에서는 水晶試片을 2mm~1mm 정도의 두께로 자른後 조연마시에서 carborundum #80를 연마제로 使用하여 연마한 後 細연마작업시는 #300로 연마, 最終的으로 Cr_2O_3 와 polishing machine으로 연마하여 試片으로 使用하였다.

3. 均一化實驗 및 結果

a. 均一化實驗

本實驗을 施行하기 前에 製作된 試片에 對한豫備觀察과 機械的誤差를 調査하기 為한豫備實驗이 行해졌다. 우선豫備觀察로 偏光顯微鏡下에서 流體包有物을 生成기원別로 區分하여 一次 또는 假二次包有物에 限하여 本實驗이 行하여졌다. 또豫備實驗으로 既確定된 試料을 選擇하여 용융점을 調査하였다.

實驗에서는 $169^{\circ}\sim 170^{\circ}\text{C}$ 의 용융점을 갖는 tartaric acid ($\text{C}_4\text{H}_2\text{O}_6\text{H}_2$)를 加熱顯微鏡의 標品室(specimen chamber)에 넣고 加熱하면서 鏡下를 通하여 주석酸이 完全 용융될 때의 溫度를 加熱顯微鏡에 부착된 溫度計로 읽어 既確定된 용융점과 比較調査하였다. 그結果 2차례에 걸친 實驗을 通하여 실제 용융될當時의 溫度가 168° 와 167° 로 나타났다. 고로 機械的誤差는 $-1\sim -2.5^{\circ}\text{C}$ 로 本實驗에서 許容限度內라고 생각하였다. 以上의豫備實驗이 끝난 후 ± 0 level에서 -7 level을 通하여 79個支點에서 製作된 試片中 實驗이 可能한 곳은 60個支點으로 330개의 試片이었다. 나머지 19개支點에서는 流體包有物이 미세하던지 혹은 發見되지 못하였다. 本實驗은 Leitz microscope heating stage M-350을 使用하였으며 편이상 顯微鏡의 倍率은 256倍로 하여 試片內 선명한 包有物을 擇하였다. 또 加熱顯微鏡의 溫度上昇率은 1分間 $5\sim 10^{\circ}\text{C}$ 로 徐徐히 加熱하면서 鏡下를 通하여 結晶의 空隙內를 視察하여 기포의 動靜을 살폈다. 加熱된 狀態의 기포는 작아져서 空隙의 变두리로 移動되었으며 完全 소멸될 순간의 溫

度를 測定하여 均一化溫度로 기록하였다. 간혹 空隙의 주변부가 긁고 점은 선으로 나타날 때는 기포가 그 속으로 들어가 完全 소멸될 때의 溫度測定이 곤난하였으나 예상均一化溫度 근처에서 두 차례 加熱冷却을 乘降시킴으로서 다소正確한 均一溫度를 얻을 수 있었다. 기포가 完全 소멸된 後 transformer를 꺼 溫度를 下降시킨다. 冷却時 호스(hose)를 通하여 찬물을 利用托록 機械製作이 되었으나 갑자기 溫度가 下降하면 再現溫度測定에 더욱 細密을 기해야 하므로 溫度를 徐徐히 冷却시켜 줄 目的으로 선풍기를 使用하였다. 本實驗中 均一化된 後 冷却時 기포가 再現되지 않는 경우가 9개 있었으나 이는 二次包有物이나 결정중 二次의인 閏 열이 생겼다고 생각하여 主溫度域에서는 제외하였다.

均一化實驗後 기포의 位置가 變하는 것도 있었으나 거의 모두가 원 위치에서 나타났으며 기포의 크기는 變함이 없었다. 이는 유체포유물中 內容物의 유출입에는 异常 없음을 確認할 수 있었다. 顯微鏡視察中 포유물의 윤곽이 선명치 않는 것은 試片이 잘 연마되지 않았을 경우이거나 試片이 두꺼울 때 또는 포유물 자체의 boundary가 分明치 않는 경우로 判斷된다.

b. 結果

上記 均一化實驗過程에서 確認된 包有物은 대체로 二相包有物이며 稀少하게 單相과 多相包有物이 本礦山產 石英結晶內에 存在함을 알았다. 單相인 것은 거의 不規則한 glassy였고 液相인 單相包有物도 있는 듯 하나 正確한 識別은 하지 못했다. 2相包有物인 경우는 大部分 液泡와 氣泡로 되어 있으며 이들의 充填比率

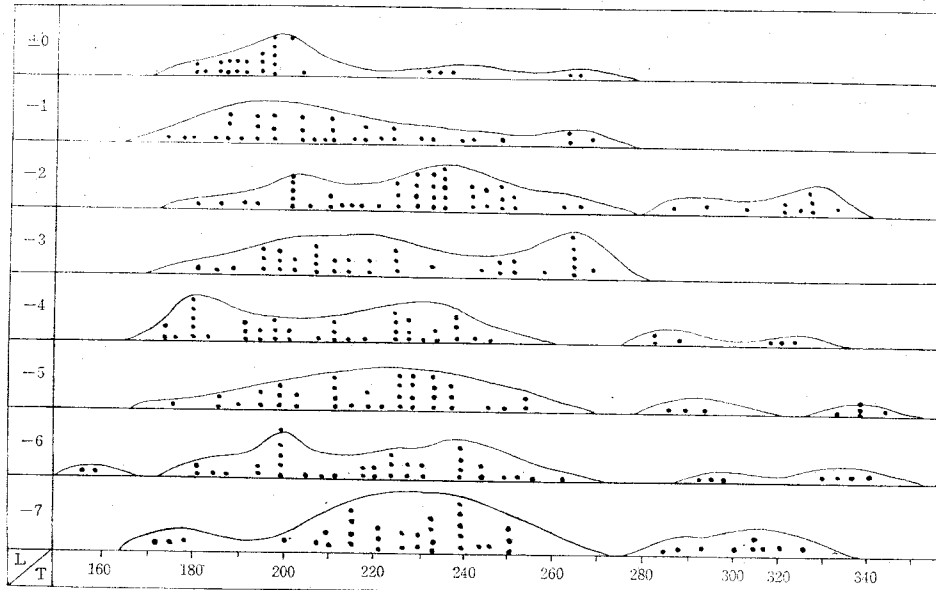


Fig. 1 Distribution of Homogenization Temperature

은 약 55~80%가 液相이다. 90%以上의 液相, 즉 기포가 空隙의 10%인 것도 2개 있었으나 加熱과 同時에 기포가 소멸되고 常溫에서 再現되지 않았음을 보아 2次包有物임에 틀림없었다. 또 기포가 공극의 85%이상을 占有하는 것도 1개 있었으며 이는 加熱中 氣泡가 完全 충전하였다. 多相包有物인 경우는 液相, 氣相, 固相이 單一 空隙내에 있음을 뜻하며 特히 2種의 固相이 單一 空隙내에 나타나는 것도 있었다(사진 4). 이들 固相에 對해서 더 研究가 必要할 것으로 보며 단지 本 實驗中에서 투명정육면체는 halite로 確認될 뿐이었다. 溫度測定은 60個支點에서 330개餘의 石英試片과 數個의 方解石試片에 對해 行하였다. 이들 試片內 流體包有物의 크기는 다양하였으며 本 實驗에서는 25μ~60μ가 주대상包有物이었고 포유물의 형상은 대부분 rounded semi-rounded, droplet-shape이며, tabular-shape도 小數 發見되었다. Fig. 1은 均一化溫度分布를 나타낸 것이며 한 試片의 均一化溫度를 dot로 表示했다. 測定된 均一化溫度는 最低 154°C에서 最高 335°C로 大端히 廣域에 걸쳐 分布함을 알 수 있다. 152°C에서 보이는 均一化溫度는 常溫에서 氣泡가 再現되지 않았음을 보아 一次 内지 假二次包有物이 아니므로 本 溫度域에서는 除外하였다. 支點 5-1에서 採取된 水晶試片에서는 三相包有物로 均一化溫度에 到達하기 前에 固相은 용해 소멸되었으며 均一化溫度는 349°C이고 再現溫度는 321°C였고 거의 常溫에서 固相이 再現되었고 同一支點에서 얻은 試片中에 다른 形태의 多相包有物로 얻어졌으며 그의 溫度는 345°C와 315°C로 나타났다. 7-3支點에서는 多相包有物을 內包하며 그 중에는 2種類以上的 固相이 나타나고 있으나 實際的으로 固相의 識別이 不可能하였음을前述한 바 있다. Table 1

에서 보는 바와 같이 60개 支點에서 29개지점을 제외하고는 두개 혹은 2以上의 溫度域을 보여준다. Table 1의 측정치를 Fig. 2의 block diagram으로 作成하여 立體的인 溫度分布를 表示하였다.

4. 鑛物의 共生關係

本 鑛山產 鑛種은 大端히 多樣하여 기조사된 바에 依하면 十四種이나 發見되었으나 筆者가 調查할 당시에는 坑內의 採掘跡 때문에 正確한 試料採取가 行해지지 못했음을 前述한 바 있다. 그러나 化學分析과 鏡下에서 11個의 鑛物이 確認되었으며 그들은 다음과 같다.

- | | | |
|---------------|-------------------|-----------------|
| 1. wolframite | 2. chalcopyrite | 3. sphalerite |
| 4. galena | 5. native bismuth | 6. pyrite |
| 7. pyrrhotite | 8. siderite | 9. arsenopyrite |
| 10. quartz | 11. calcite | |

quartz와 siderite는 장시간에 걸친 生成帶위를 보여준다. 특히 quartz는 vug-quartz가 잘 發達되어 最後 단계까지의 生成時期를 보여주고 있다.

wolframite는 高溫成鑛物로써 siderite나 chalcopyrite보다 前期의 生成時期를 보여주나 부분적으로 siderite 내에 quartz와 chalcopyrite가 鑛染상태로 나타나고 이 siderite는 다시 wolframite를 자르고 있는 것으로 보아 兩次에 걸친 鑛化作用이 있었음을 확인할 수 있다. 全體的인 鑛物의 sequence는 paragenesis diagram에서 보여 준 바와 같다. 또 bismuth 광물은 native로 나타났고 pyrite와 pyrrhotite, arsenopyrite는 部分的으로 exsolution 상태를 보여주고 있다. pyrite는 장시간에 걸친 生成時期를 보여준다.

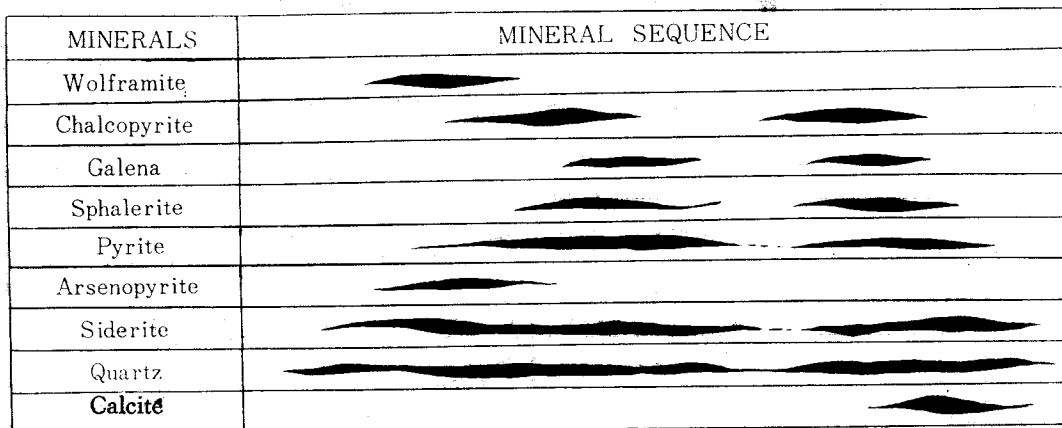


Fig. 2. Paragenesis Diagram.

5. 考 察

Fig. 1. 에서 最低 154°C에서 最高 335°C의 均一化溫度를 나타내고 있음은 기조사자료에서 언급한 바와 같이 本礦山에 热水鑛床임을 입증하여 준다. 이러한試片의 均一化溫度는 Fig. 1.에서 dot로 表示했으며 dot가 조밀한 180~260°C의 범위(area A)와 dot가 비교적 적으나 分明한 溫度域을 表示해 주는 즉 280~430°C의 범위(area B)인 두개의 溫度域으로 區分할 수 있다. 270°C를 前後하여 dot가 거의 없으며 이는 270°C를 前後하여 鑛化溶液의 溫度가 다른 2次에 걸친 鑛化作用이 있었던 것으로 解析되고 鑛物의共生關係와 關聯시켜 볼 때 mesothermal stage 中热水段階과 katathermal stage 深热水段階의 두 단계로 推定할 수 있다. Table 1.에서 보는 바와 같이 同一支點에서 2개 혹은 그 以上의 溫度域이 나타났음을 亦是最少限 2次에 걸친 鑛化作用이 行해졌음을 뒷받침해 준다.

Fig. 3. 은 Cu/W에 對한 分布圖인데 -4 level 以下에서 深热水期生成의 黃銅石이 黑重石보다 壓倒的으로 높은 것으로 나타난다. 上記두가지 條件 즉 2개의 溫度域과 Cu/W ratio로 미루어 보아 初期에 area A의 溫度域에서는 黃銅石과 黑重石이 均一하게 대포한 광역이 全坑道에 걸친 鑛化作用이 있었고 그 以後 "area B"의 溫度域에는 주로 Cu가 우세한 鑛化溶液이 -4 level 以下에서 鑛化作用이 있은 것으로 생각된다. 고로 前者は 그의 溫度範圍로 보아 mesothermal stage에 屬하리라 생각되고 後者는 katathermal stage에 屬하리라 생각된다. 特히 mesothermal stage의 溫度域은 상당히 넓고 同一支點에서도 2개의 溫度分布를 나타내고 있는 것이 많으므로 이는 mesothermal stage가 장시간 연속적으로 鑛化作用이 있었으리라 추정하여 本研究에서는 mesothermal stage를 low stage와 high stage로 區分하였다. Fig 2는 breccia pipe의 block diagram內의 溫度分布인데 여기에서 280°C 이상의 高溫帶가 主로 pipe의 南隅低邊部에 位置함은 鑛化溶液의 進入路가 pipe의 南隅低邊部에서 上부로 進行하였으며 水平斷面上에서는 南隅에서 東北方向으로 鑛化溶液이 移動하였으리라 생각된다.

Table 1. Distribution of Cu-w Ratio

(단위 : 개수)

Level \ Ratio	20이상	20~10	10~5.0	5.0~1.0	10~0.5	0.5~0.1
+0				5	2	1
-1		1	1	9	3	
-2				6	3	
-3				4	3	3
-4	4	2	1	6	3	1
-5	3	1	2	8	1	1
-6				1	3	4
-7	3	2	4	6	1	1
-8		3	1	4	1	3
-9			1	1	3	2
Total	10	10	11	54	21	14

6. 結 論

1. 達城礦山產 石英結晶에서는 單相 2相 多相의 3種類의 流體包有物이 있으며 大部分 2相包有物이다.

2. 石英結晶內의 流體包有物의 均一化溫度는 154°C~335°C로 나타나며 热水鑛床에 該當되는 溫度域이다. 測定된 溫度를 分類하면 180°C~260°C와 280°C~340°C의 2大分할 수 있으며 이를 鑛物生成當時의 溫度 壓力を 대략 補正하면 (Yermakov에 依하면 1.5km地下深部에서 生成된 鑛物에 對한 溫度補正是 +30°C로 하여 줌) 각각 210~290°C와 310~370°C로 이는 中热水鑛床과 深热水鑛床의 生成溫度域에 該當된다.

3. 二次에 걸친 鑛化作用은 初期에 中热水 단계로써 W와 Cu의 鑛化作用이 均一하게 進行되었고 後期에 深热水 단계로서 Cu가 우세한 鑛化作用이 進行된 것으로 본다.

4. 热水溶液의 移動은 breccia pipe의 南隅低邊部가 主進行路이며 同一 level上에서는 南隅에서 東北方向으로 進行했음을 보여 준다.

5. 鑛物生成順序는 siderite나 wolframite와 같은 嵌酸鹽 또는 酸化鑛物이 먼저 生成되고 後에 黃銅石, 黃鐵石, 磁硫鐵石과 같은 硫化鑛物이 生成된 것으로 인정된다. 石英은 광화작용의 전기간동안 계속 生成되었다. 方鉛石과 閃亞鉛石은 양자에 걸쳐 小量의 鑛化作用이 있었으며 個個 단계에서는 最後期 生成이다.

參 考 文 獻

- 1) N.P. Yermakov and others: Research on the natures of mineral-forming solutions Pergamon press Inc., New York 1966.
- 2) Charler F. Park and Roy M'Diamond: Ore deposits W.H. Freeman and Co., 1963.
- 3) Roedder E.: Study of Fluid Inclusions I "Low Temperature Application of a Dual-purpose Freezing and Heating Geol. Vol. 57, p. 1047~1087, 1962.

- 4) Roedder E. and et al.,: Environment of ore Deposition at the Mex-Tex Deposits, Hansonburg District New Mexi, oc from studied of fluid inclusions. Econ. geol. Vol. 63 p. 336—348. 1968.
- 5) Edwards Jorge Liambias and Malvicini: The Geology and Genesis of the Bi-Cu mineralized Breccia pipe, S/F de Andes. Econ. geol. V. 64 p. 271.
- 6) Little W. M.: Inclusions in Cassiterite and Associated Minerals. Econ. geol. Vol. 55, p. 485—509, 1960.
- 7) Jolly and Heyl: Mineral Paragenesis and zoning in the Centered Kentucky Mineral District. Econ. Geol. Vol. 59, p. 596.
- 8) R. H. Sillitoe and Sawking: Geologic, Mineralogic and Fluid Inclusion Studies Rerarting to the Origin of Copper-bearing Tourmaline Breccia Pipe, Chile. Econ. Geol. Vol. 66, p. 1028.
- 9) Hubert Lleyd Barnes: Geochemistry of Hydrothermal Ore Deposits. Holt Rinehart and Winston Inc., New York p. 561—575.
- 10) 都城秋穂: 變成岩과 變成帶 p. 80—82, 1965.
- 11) 尹碩奎: 流體包有物에 의한 지질온도 측정, 광산지질 Vol. 1, No. 1, p. 74—82, 1968.
- 12) 金玉準, 朴喜寅: 達城嶺山 地質鑽床 調查報告書, 韓國地下資源調查所 1962.
- 13) 원종관, 김기태: 達城嶺山附近의 地質과 鑽化作用에 對하여, 地質학회지 제 2권 1호 1966.
- 14) 원종관, 고종배, 홍승호: 경산지질도록 국립지질 조사소 1971.
- 15) 윤석규, 이춘우: 新浦嶺山 형석의 유체포유물에 關한 研究, 광산지질 1970.

Table 2. Results of Homogenization Temperature

番號	均一化溫度	再現溫度	平均溫度	比考
0-1	204°C 206 210 219	182°C 192 179 192	193°C 199 199.5 205.5	°C 198°C
1	271 277	256 253	263.5 265	264.25
0-2	199 197 209 212	181 176 192 186	190 186.5 200.5 199	194
2	239 244 251	221 226 229	230 235 240	235.0°C
0-3	191 192 198 201	168 171 173 175	179.5 181.5 181.5 188	184.0
0-4	205 206 287 211	189 189 192 183	197 196.5 199.5 197	197.5
0-5	197 195	182 179	189.5 189.0	188.2
0-6	198 198 201 210	178 167 182 189	188 182.5 199 199.5	190.5

番號	均一化溫度	再現溫度	平均溫度	比考
1-1	190 206 218 228 238	172 180 206 208 213	185 198 212 218 225.5	점이적인변화 207.5
7	269 272 277	255 254 257	262 263 267	264.0
1-2	199 213 220	182 201 203	190.5 207 211.5	
8	227	210	218.5	207.0
1-3	189 196 202	168 172 186	178.5 184 194	186
	249 253	218 221	233.5 237	
9	259	231	245	239.0
1-4	198 203 291	176 186 201	187 194.5 210	
10	223	206	215	202
1-5	208 210 215 220	192 172 198 185	200 194 206.5 202.5	
11	233	202	217.5	206
1-6	202	176	190	

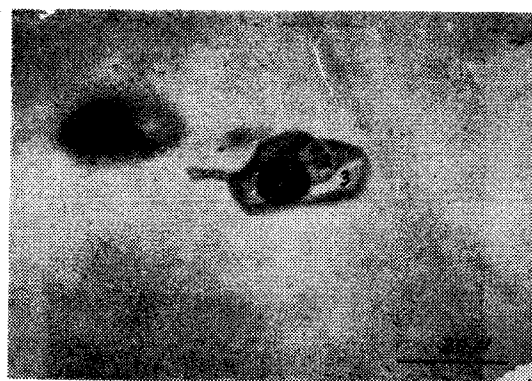
番號	均一化 溫度	再現溫度	平均溫度	比 考	番號	均一化 溫度	再現溫度	平均溫度	比 考
12	212	189	200.5		2-9	229	208	218.5	
	218	191	204.5			241	222	231.5	
	220	193	206.5	201		262	242	252	234
1-7	163	×	×	二次	22	318	282	300.5	
	189	153	171			326	298	312	
	187	166	176.5			332	291	311.5	
	192	171	182.5			334	301	317.5	311
	201	×	×	二次	2-10	218	191	204.5	
	202	167	185			221	192	208	206.2
13	204	176	190	182.9	24	258	240	249	
2-1	192	178	185			259	237	248	
	201	178	189.5			275	252	262	
	210	187	198.5			276	260	267.5	257.4
	213	188	200.5		3-1	215	198	206.5	
	207	178	192.5	193.1°C		223	189	206	
14	323	307	315			224	198	211	208
	328	306	317			258	237	247.5	
	327	309	318			261	239	250.0	249
	336	311	323.5	318.4	26	3-2	235	218	226.5
	209	186	199			25	241	214	227.5
2-2	212	187	199.5	199.25		3-3	196	171	183.5
	253	222	237.5			201	184	192.5	
15	267	230	248.5			204	189	195	
	268	232	250	245.3	27	205	177	191	190.3
2-3	219	196	207.5			3-4	269	241	255
	221	200	210.5			272	241	256.5	
	223	201	212	211		270	238	254	256
	255	225	240		3-5	217	200	208.5	
	248	223	235.5	238		221	198	209.5	
2-4	227	201	214			225	204	214.5	
	232	212	222			230	208	219	212.4
	238	217	227.5			268	232	250	
17	242	211	226.5	222.5		271	243	257	253.4
2-5	238	209	223.5		3-6	28	196	180	188
	243	211	227			167	181	189	
	247	219	233			201	192	196.5	191
18	256	232	244	231.0		243	228	235	
2-6	189	168	178.5	178.5		253	236	244.5	
	232	211	221.5			259	240	249.5	
	242	224	232.5			29	254	238	247.5
	247	226	236.5			3-7	194	160	177
19	249	223	236	231.4					

番號	均一化度	再現溫度	平均溫度	比考	番號	均一化度	再現溫度	平均溫度	比考	
30	204	183	193	196.1	37	201	181	191	189	
	207	189	198			205	178	191.5		
	219	191	205			214	193	203.5		
	224	191	207.5			249	231	240		
	268	239	253			249	232	240.5		
	274	242	258			255	231	243		
	182	×	×			243	×	×		
	186	162	184			257	237	247		
	230	211	220.5			4-7	169	×	二次	
	234	220	227			38	192	168		
31	215	227	224	225.2	4-8	191	176	183.5	180	
	216	227				187	162	174.5		
	215	228				189	173	185		
	241	228				201	189	190.5		
	242	220	231			204	186	195		
4-2	206	193	199.5	209	39	239	220	229.5	230	
	208	191	199.5			241	221	231		
	221	208	214.5			5-1	186	154	206	
	228	209	218.5			211	193	202		
	215	189	202			212	197	204.5		
	238	218	228			224	206	214.5	330	
	212	182	198			224	212	218		
	315	297	306.5			226	204	215		
	324	301	312.5			345	315	330		
	322	299	310.5	309.8		349	321	335		
33	238	219	228.5	235	40	342	321	331.5	247.6	
	243	229	235			336	309	322.5		
	252	239	241			5-2	247	228	207.2	
	298	263	280.5			258	246	249		
	291	268	279.5			41	272	241		
34	301	278	289.5	283.2	42	203	176	190.5	245	
	152	×	×	二次		213	192	202.5		
4-4	182	164	173			216	195	205.5		
	187	173	180			226	201	213.5		
	194	163	178.5			253	222	237.5		
	206	186	196			259	245	252		
	231	212	221.5			261	249	255		
35	238	220	229	230	5-4	227	198	212.5	245	
	247	228	237.5			232	211	211.5		
4-5	216	201	208.5	212		242	218	230		
36	226	204	215			43	223	234		
4-6	189	165	177.5			5-5	243	221		
	190	171	180.5					232		

番 號	均一化 溫 度	再現溫度	平均溫度	比 考	番 號	均一化 溫 度	再現溫度	平均溫度	比 考
	251	230	240.5		6-4	171	138	154	
	257	226	236.5	235		178	129	153.5	154
	293	271	287			231	210	220.5	
44	301	279	290	290		243	228	235.5	
	305	281	293			239	218	228.5	231
5-6	201	182	196.5		52	249	230	239.5	
	197	172	184.5		6-5	212	×	×	二次
	199	168	183.5			211	192	201.5	
45	208	191	199.5	191		220	182	201	
5-7	210	813	196.5			228	217	222.5	점이적變化
	231	212	221.5			229	208	218.5	
46	242	219	292.5	216.2		242	221	231.5	
5-8	239	218	228.5		53	248	232	240	216
	241	212	226.5			251	238	244.5	
	247	229	238		6-6	204	192	198	
	238	220	229			212	183	197.5	
	244	221	232.5			218	192	205	
47	251	230	240.5	232.5		229	193	211	
						232	209	220.5	206.4
5-9	247	222	234.5			342	321	331.5	
48	253	229	241	238		338	317	327.5	
6-1	168	×	×	二次	54	346	323	324.5	
	226	189	207.5			327	301	314	324.3
	212	186	199		7-1	201	×	×	二次
	237	212	224.5	점이적변화		186	171	178.5	
	246	234	240			189	163	176	175.5
	254	228	241			186	159	172	
	258	237	247.5			242	221	231.5	
49	268	255	261.5	232		242	232	239	
6-2	192	168	180			248	231	239.5	236.7
	198	167	182.5		55	320	301	310.5	
	201	161	181			326	304	315	312.7
	204	172	188		7-2	242	228	235	
	209	181	195	187	56	248	229	238.5	
	210	179	194.5			249	232	240.5	238
	256	242	249.5			291	270	281	
	261	248	254.5			296	271	283.5	
	252	238	245	249.5		305	280	290.5	285
	306	282	294		7-3	227	204	213.5	
	302	278	290			243	220	231.5	
50	311	283	297	293.3		242	215	228.5	
6-3	228	209	218			252	227	239.5	
	232	216	224			258	232	245	
51	238	217	227.5	223.2					

番 號	均一化 溫 度	再現溫度	平均溫度	比 考
57	262	238	250	235
	315	298	307	
	320	287	303.5	
	221	288	304.5	
	309	282	295.5	302.6
7-4	152	×	×	二次
	209	192	200.5	
	215	201	208	
	219	201	210	
	220	198	209	209.1
58	248	222	235	
	256	231	243.5	
	263	238	250	
	261	240	250.5	245

番 號	均一化 溫 度	再現溫度	平均溫度	比 考
7-5	228	206	217	
	232	211	211.5	
	237	220	228.5	
	247	230	238	
59	249	221	235	228.4
7-6	227	204	215.5	
	238	209	223.5	
	229	208	218.5	
	231	213	222	219.5



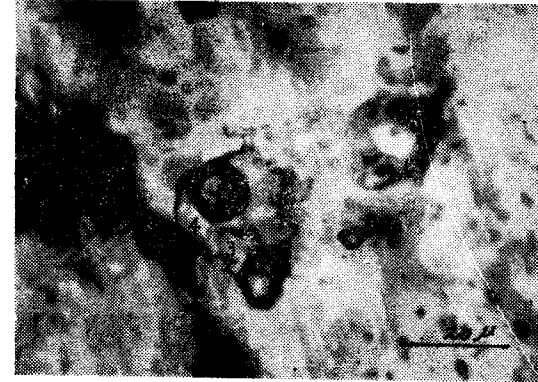
(5-1) Homo. Temp. 345°C 1 : Gas phase
Reappe. Temp. 315°C 2 : Solid phase
Average. Temp. 330°C 3 : Liquid phase



(7-3) Homo. Temp. 316°C 1 : Gas phase
Reapp. Temp. 298°C 2 : Solid phase
Average. Temp. 307°C 3 : Solid phase
4 : Liquid phase



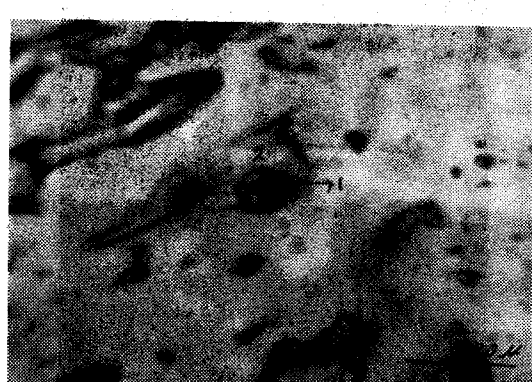
(5-1) Homo. Temp. 342°C 1 : Gas phase
Reappe. Temp. 321°C 2 : Solid phase
Average. Temp. 331.5°C 3 : Liquid phase



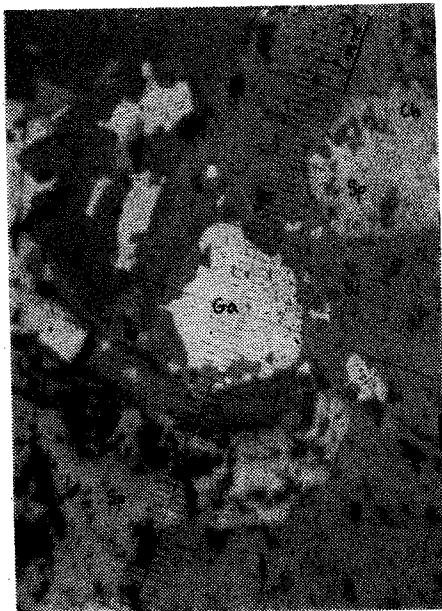
(6-6) Homo. Temp. 338°C 1 : Gas phase
Reapp. Temp. 317°C 2 : Solid phase
Average. Temp. 329.5°C 3 : Solid phase
4 : Liquid phase



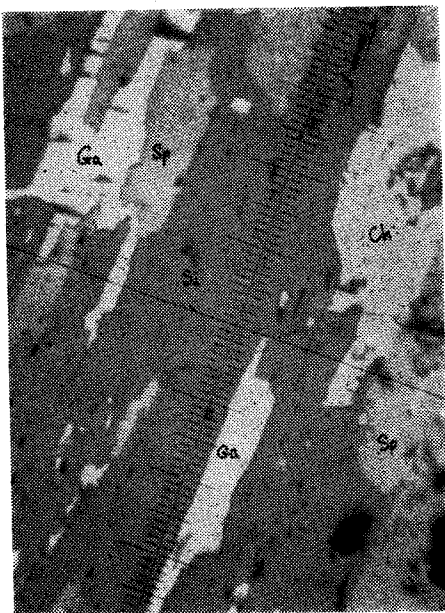
(4-6) Homo. Temp. 257°C 1 : Gas phase
Reapp. Temp. 237°C 2 : Liquid phase
Average. Temp. 247°C



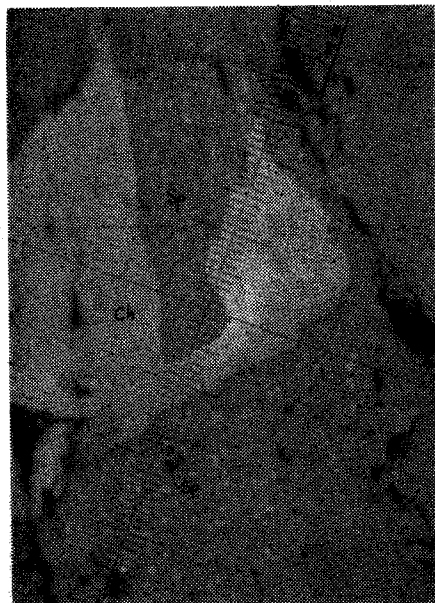
(4-3) Homo. Temp. 238°C 1 : Solid phase
Reapp. Temp. 219°C 2 : Liquid phase
Average. Temp. 228.5°C



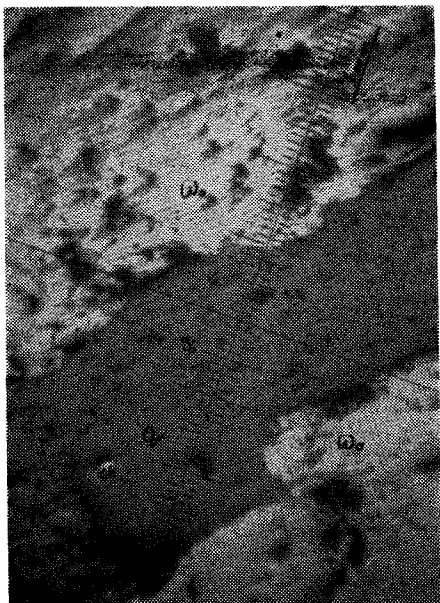
1. 섬아연광, 방연광, 능철석, 황동석



2. 섬아연광, 황동석, 능철석, 방연광



3. 섬아연광내 황동광이 dot로 존재



4. 흑증석, 능철석, 황동석, 석영

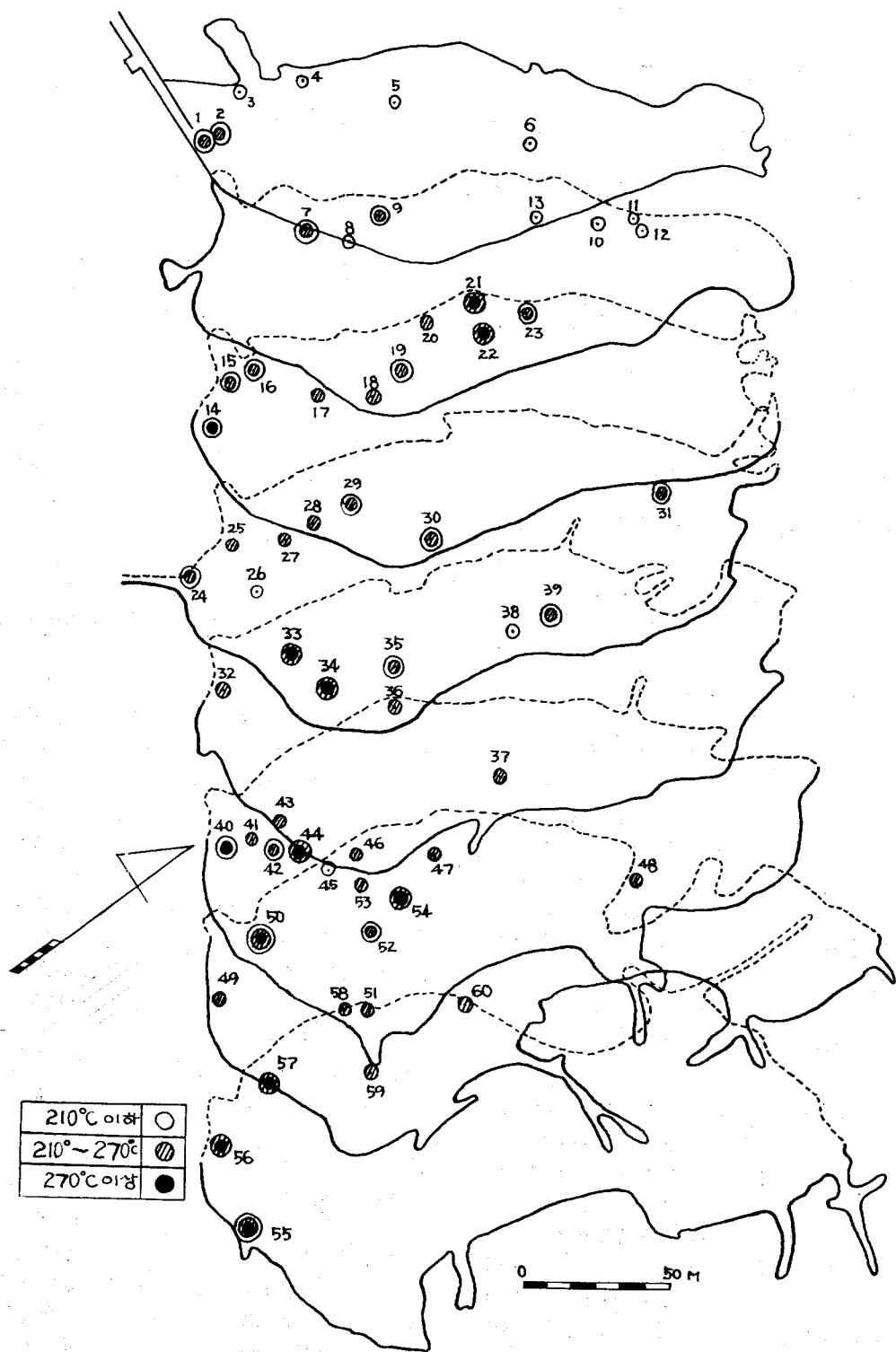


Fig. 3. Distribution of Homogenization Temperature(번호는 균일화 실험지점)